

ԵՐԵՎԱՆԻ ՊԵՏԱԿԱՆ ՀԱՍՏԱՏՈՒՄԻ ԳԵՎԱԿԱՆ ՏԵՂԵԿԱԳՐ  
УЧЕНЫЕ ЗАПИСКИ ЕРЕВАНСКОГО ГОСУДАРСТВЕННОГО УНИВЕРСИТЕТА

Բնական գիտություններ

1, 2004

Естественные науки

*Химия*

УДК 547.279

Л.С. ГАБРИЕЛЯН

*AB INITIO* ИССЛЕДОВАНИЕ КОЛЕБАТЕЛЬНЫХ СПЕКТРОВ  
ПЕРХЛОРАТА И НИТРАТА ЛИТИЯ

*Ab initio* квантово-химическим методом исследованы перхлорат- и нитрат-анионы, а также ионные пары  $\text{Li}^+\text{ClO}_4^-$  и  $\text{Li}^+\text{NO}_3^-$ . Расчет геометрии и колебательных частот для свободных анионов, а также моно-, би- и тривалентных структур ионных пар проведен в базисах RHF/6-31+G(d) и B3LYP/6-31+G(d). Показано, что образование ионных пар бидентатной структуры предпочтительно как в случае перхлората лития, так и в случае нитрата лития.

**Введение.** Исследование неводных растворов солей лития представляет интерес для развития литиевых источников тока. Очень много работ посвящено изучению растворов солей лития в некоторых аprotонных растворителях, используемых в литиевых батареях высокоенергетической плотности [1–13]. Ранее нами с помощью методов  ${}^1\text{H}$  ЯМР, УФ-спектроскопии, спектроскопии диэлектрической релаксации, измерений электропроводности и вязкости были изучены сольватационные свойства хлорида, нитрата и перхлората лития в растворах диметилсульфоксида (ДМСО) и диэтилсульфоксида (ДЭСО) [7–10].

Для более глубокого понимания строения и физико-химических процессов, происходящих в этих растворах, наряду с экспериментальными широко используются также и теоретические методы [11–14].

Колебательная спектроскопия интенсивно применяется для исследования внутри- и межмолекулярных взаимодействий в растворах. Ассоциация в растворе при образовании ионных пар или сольватационных комплексов вызывает изменения в частотах нормальных колебательных мод, интенсивностях и формах полос поглощения.

Расчет колебательных частот методами *ab initio* находит все большее применение в различных областях химии [15–17]. В частности квантово-химические методы дают возможность проследить связь между структурными и спектральными характеристиками объектов.

В данной работе оптимизированы геометрии и рассчитаны колебательные спектры свободных нитрат- и перхлорат-анионов, а также их ионных пар с литием. Было выявлено, что образование ионных пар бидентатной структуры более предпочтительно по сравнению с моно- и триденатной структурами.

**Методика расчета.** Расчеты анионов  $\text{ClO}_4^-$  и  $\text{NO}_3^-$ , а также ионных пар  $\text{Li}^+\text{ClO}_4^-$ ,  $\text{Li}^+\text{NO}_3^-$  были выполнены с использованием кванто-во-химической программы Gaussian 98 [18]. Z-матрица вышеперечисленных соединений создавалась в программе HyperChem 6.0, а в Molekel Main Window осуществлялась визуализация рассчитанных структур.

Расчеты проведены в базисах RHF/6-31+G(d) и B3LYP/6-31+G(d). Ключевые слова RHF/6-31+G(d) и B3LYP/6-31+G(d) означают, что они были выполнены ограниченным методом Хартри-Фока и гибридным методом DFT (Density Functional Theory) в поляризационном базисе 6-31+G(d). В поляризационном базисе 6-31+G(d) для описания орбиталей остова используются 6 примитивных гауссовых функций, 3 и 1 функция – для валентных s- и p-орбиталей, а также набор из шести d-функций [19, 20].

Методы расчета, основанные на теории функционала плотности (DFT), сравнительно точно предсказывают молекулярные структуры, колебательные частоты и энергии реакций [17]. Здесь учитывается также энергия электронной корреляции. Из гибридных методов DFT [18] наиболее часто применяется B3LYP. Название последнего означает, что трехпараметрический функционал плотности включает корреляционный обменный градиент Беке, корреляционный функционал Воско, Вилка и Нусара [17, 18].

После оптимизации геометрии были рассчитаны колебательные спектры (колебательные частоты, ИК- и Раман-интенсивности).

Колебательный анализ в Gaussian включает несколько стадий. Перед тем как приступить к расчету частот, программа выполняет следующие шаги.

1. Рассчитывает и диагонализирует масс-весовую матрицу Гесса.
2. Определяет основные оси инерции.
3. Переводит координаты в рамки трансформации и вращения.
4. Затем программа приступает к расчету частот [15].

#### Обсуждение результатов.

1. *Перхлорат ион.* Первым шагом нашей работы являлось изучение влияния уровня базиса на результаты вычислений. Результаты длин связей и энергий для оптимизированных структур  $\text{ClO}_4^-$  и  $\text{Li}^+\text{ClO}_4^-$  приведены в табл. 1 ( $\text{O}'$  – кислород, координированный с  $\text{Li}^+$ ,  $\text{O}$  – кислород, не координированный с  $\text{Li}^+$ ). Как видно из приведенных данных, расчеты в минимальном базисе 3-21G дают нереальные результаты по сравнению с литературными экспериментальными данными (длина связи  $\text{Cl}-\text{O} \approx 1.47 \text{ \AA}$ ). Применение расширенных базисов с учетом поляризационных и диффузных функций (RHF/6-31+G(d) и B3LYP/6-31+G(d)) позво-

ляет достаточно точно описать реальную систему. С учетом вышесказанного в дальнейших расчетах минимальный базис 3-21G не использовался.

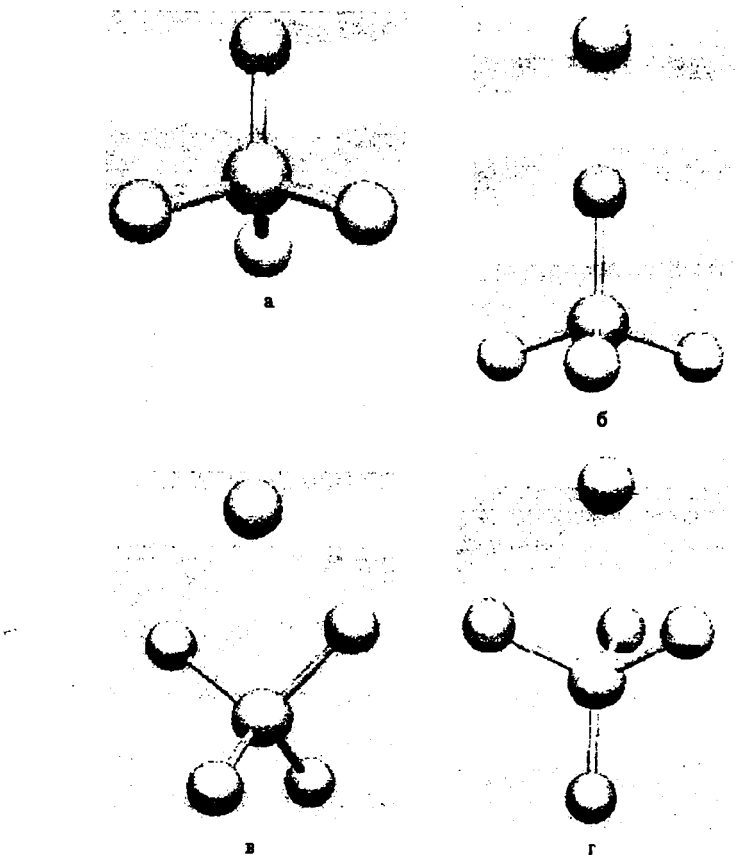


Рис. 1. Оптимизированные структуры аниона  $\text{ClO}_4^-$  (а), монодентатной (б), бидентатной (в) и тридентатной (г) ионных пар  $\text{Li}^+\text{ClO}_4^-$ .

Таблица I

*Оптимизированные геометрии (длины связей, Å, валентные углы, град.) и энергии (кДж/моль) для аниона  $\text{ClO}_4^-$  и координационных структур  $\text{Li}^+\text{ClO}_4^-$  (I – монодентатная, II – бидентатная, III – тридентатная)*

Структура	Cl–O	Cl–O'	Li–O'	O–Cl–O'	O–Cl–O	Полная энергия
RHF/6-31+G(d)c						
$\text{ClO}_4^-*$	1.452				105.9	-1991689.04
$\text{LiClO}_4$ (I)	1.430	1.4951	1.680	106.8	112.0	-2011201.43
$\text{LiClO}_4$ (II)	1.421	1.485	1.8845	101.5	112.9	-2011263.13
$\text{LiClO}_4$ (III)	1.414	1.465	2.156	113.8	–	-2011217.93
B3LYP/6-31+G(d)						
$\text{ClO}_4^-$	1.506				109.5	-1997561.30
$\text{LiClO}_4$ (I)	1.478	1.567	1.672	106.8	112.0	-2017209.29
$\text{LiClO}_4$ (II)	1.469	1.550	1.879	101.0	113.2	-2017276.00
$\text{LiClO}_4$ (III)	1.467	1.523	2.150	114.1	–	-2017236.15

\* При расчете в базисе 3-21G длина связи Cl–O равна 1.851 Å.

Свободный анион  $\text{ClO}_4^-$ , как показано на рис. 1, а, имеет тетраэдрическую структуру и обладает симметрией  $T_d$ . При расчете геометрии и энергии ионных пар  $\text{Li}^+\text{ClO}_4^-$  рассматривались три возможные конфигурации: монодентатная, бидентатная и тридентатная (б, в, г).

В зависимости от конфигурации изменяется тип симметрии аниона. Это обусловлено тем, что при моно- и тридентатной координации одна из его связей Cl–O становится неравноценной остальным и симметрия аниона понижается до  $C_{3v}$ . При бидентатной координации две связи Cl–O становятся неравноценными двум другим и симметрия аниона понижается до  $C_{2v}$ .

Координация приводит к удлинению связи Cl–O' и уменьшению длины связи Cl–O по сравнению со свободным перхлорат-анионом в следующем ряду: монодентатная > бидентатная > тридентатная. Подобная тенденция обусловлена частичным переносом несвязанных электронов р-орбитали кислорода на свободную s-орбиталь катиона лития.

Результаты расчетов показывают, что полная энергия бидентатной структуры несколько ниже энергий моно- и тридентатных структур (табл. 1).

Таблица 2

*Рассчитанные атомные заряды и дипольный момент ( $D$ ) для свободных анионов и ионных пар*

Структура	RHF/6-31+G(d)					B3LYP/6-31+G(d)				
	O	O'	Cl	Li	диполь- ный момент	O	O'	Cl	Li	диполь- ный момент
$\text{ClO}_4^-$	-0.73894		1.955573		0.0033	-0.58800		1.351988		0.1850
$\text{LiClO}_4$ , (I)	-0.64905	-0.72575	1.936032	0.736796	11.370	-0.48151	-0.55371	1.331754	0.666329	10.6612
$\text{LiClO}_4$ , (II)	-0.59878	-0.73042	2.010418	0.648068	7.7062	-0.42555	-0.54929	1.378890	0.570804	7.0090
$\text{LiClO}_4$ , (III)	-0.55547	-0.64794	1.832749	0.666550	7.0611	-0.39434	-0.43510	1.100107	0.599519	6.4425
	O	O'	N	Li	диполь- ный момент	O	O'	N	Li	диполь- ный момент
$\text{NO}_3^-$	-0.45126		0.353482		0.00110	-0.31576		-0.05262		0.0826
$\text{LiNO}_3$ (I)	-0.32178	-0.29793	0.264371	0.677119	10.3994	-0.1939	-0.12158	-0.09893	0.608315	9.9028
$\text{LiNO}_3$ (II)	-0.26733	-0.36077	0.330845	0.658082	7.0257	-0.16207	-0.21845	0.018718	0.580271	6.7820

В табл. 2 приведены рассчитанные атомные заряды, а также дипольный момент для перхлорат-аниона и ионных пар  $\text{Li}^+\text{ClO}_4^-$ .

После оптимизации геометрий были рассчитаны колебательные частоты вышеперечисленных структур с использованием теорий Хартри–Фока и функционала плотности, сделаны отнесения этих частот.

Свободный перхлорат-анион имеет девять колебательных частот, разделенных между четырьмя нормальными колебаниями: полносимметричным валентным, симметричным деформационным, антисимметричным трижды вырожденным валентным и деформационным. Из них в

ИК-спектре активны только два колебания: трижды вырожденные анти-симметричные валентные и деформационные (табл. 3).

Таблица 3

*Рассчитанные колебательные частоты ( $\text{см}^{-1}$ ) для свободного перхлорат-аниона и ионной пары  $\text{Li}^+\text{ClO}_4^-$  (I, II, III)*

RHF $\text{ClO}_4^-$	B3LYP $\text{ClO}_4^-$	отнесе- ния	RHF (I)	B3LYP (I)	отнесе- ния	RHF (II)	B3LYP (II)	отнесе- ния	RHF (III)	B3LYP (III)	отнесения
1) 1148.9	994		1231.1	1094.4	$v_s(\text{ClO}_4)$	1272.0	1131.6	$v_s(\text{ClO}_2)$	1288.9	1144.1	$v_s(\text{ClO}_4)$
1148.4	993	$v_s(\text{ClO}_4)$	1231.0	1094.1		1198.6	1050.7	$v_s(\text{ClO}_2)$	1111.3	949.4	$v_s(\text{ClO}_3)$
1147.9	992		1118.7	944.0	$v_s(\text{ClO}_4)$	1054.9	873.4	$v_s(\text{ClO}'_2)$	1111.1	949.2	
(380)*	(350)										
2) 957.5	819.2	$v_s(\text{ClO}_4)$	1035.8	911.3	$v_s(\text{ClO}_4)$	942.4	783.5	$v_s(\text{ClO}'_2)$	958.7	812.8	$v_s(\text{ClO}_2)$
(0)	(0)										
3) 659.0	549.7		748.5	668.9	$v_s(\text{LiO})$	715.6	618.5	$v_s(\text{LiO})$	691.4	590.6	$\delta_s(\text{ClO}_4)$
659.0	549.4	$\delta_s(\text{ClO}_4)$	655.7	544.8	$\delta_s(\text{ClO}_4)$	655.7	550.3	$\delta\text{ClO}_2$	653.9	542.9	$\delta_s(\text{ClO}_4)$
659.0	549.1		655.7	544.1		645.0	537.5	$\tau(\text{ClO}_2)$	653.9	542.5	
(43)	(20)										
4) 474.1	392.2		549.3	479.8	$\delta\text{LiO}'\text{Cl}$	601.6	566.4	$v_s(\text{LiO}')$	479.1	475.9	$v_s\text{ LiClO}$
474.1	392.2		470.2	386.5	$\delta_s(\text{ClO}_4)$	481.8	414.1	$\delta_s(\text{ClO}_4)$	476.0	394.4	$\delta_s(\text{ClO}_4)$
(0)	(0)	$\delta_s(\text{ClO}_4)$	470.2	386.0		444.8	360.2	$\text{ClO}_2\text{ твнс}$	476.0	394.2	
			-97.8	-86.27	$\text{Li O}_3\text{Cl}$ топс.	386.1	387.7	$\delta\text{LiO}'\text{Cl}$	-148.7	-128.8	$\text{Li O}_2\text{Cl}$ топс.
			-97.8	-86.32		152.1	142.4	$\text{Li O}_2\text{Cl}$ топс.	-148.7	-131.8	

\* В скобках указаны ИК-интенсивности в км/моль

Два других колебания активны в Раман-спектре. Понижение симметрии при моно- и тридентатной координациях приводит к возрастанию числа частот в спектре до шести, а при бидентатной – до девяти. Сравнение частот рассчитанных структур (табл. 3) показывает, что в ИК-спектрах моно- и тридентатных структур в низкочастотной области имеются отрицательные частоты. Это свидетельствует о том, что данные структуры мнимые и нестабильны по сравнению с бидентатной. При сравнении видно, что частоты, рассчитанные методом Хартри–Фока, находятся в более высокочастотной области, чем частоты, рассчитанные при помощи теории функционала плотности. Это может быть обусловлено тем, что в теории функционала плотности в выражении энергии включается также энергия электронной корреляции, тогда как в теории Хартри–Фока электронная корреляция не учитывается.

2. *Нитрат ион.* На рис. 2 представлены оптимизированные структуры свободного нитрат-иона и ионных пар  $\text{Li}^+\text{NO}_3^-$ . Нитрат-ион представляет собой плоский равносторонний треугольник и имеет симметрию  $D_{3h}$ . При моно- и бидентатной координациях аниона  $\text{NO}_3^-$  с катионом лития одна из связей N–O становится неравноценной двум другим и сим-

метрия аниона понижается до  $C_{2v}$  (табл. 4). В табл. 2 приведены рассчитанные атомные заряды, а также дипольный момент вышеуказанных структур.

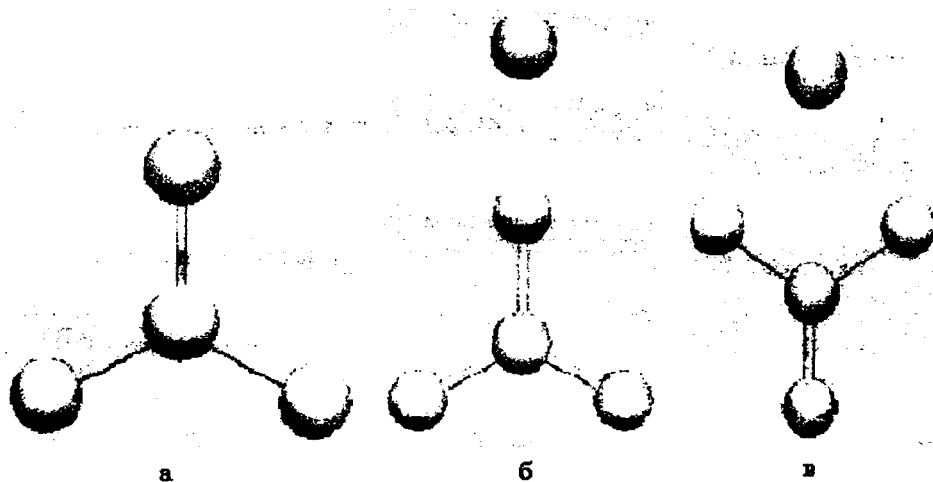


Рис. 2. Оптимизированные структуры аниона  $\text{NO}_3^-$  (а), монодентатной (б) и бидентатной (в) ионных пар  $\text{Li}^+\text{NO}_3^-$ .

После оптимизации геометрии был произведен расчет колебательных частот свободного нитрат-аниона и координационных структур. Результаты расчетов показывают, что полная энергия бидентатной структуры несколько ниже энергии монодентатной, как и в случае перхлората лития, и при монокоординации в колебательном спектре наблюдаются минусовые частоты.

Таблица 4

*Оптимизированные геометрии (длины связей, Å, валентные углы, град.) и энергии (кДж/моль) для аниона  $\text{NO}_3^-$  и координационных структур  $\text{Li}^+\text{NO}_3^-$*

Структура	N–O	N–O'	Li–O'	O–N–O'	Полная энергия
RHF/6-31+G(d)					
$\text{NO}_3^-$	1.227			120	-732352. 064
$\text{LiNO}_3$ (I)	1.232	1.272	1.650	117.8	-751917.747
$\text{LiNO}_3$ (II)	1.177	1.254	1.856	122.6	-751989.983
B3LYP/6-31+G(d)					
$\text{NO}_3^-$	1.256			120	-736139.596
$\text{LiNO}_3$ (I)	1.198	1.312	1.649	117.5	-755837.148
$\text{LiNO}_3$ (II)	1.214	1.293	1.856	122.6	-755909.310

Симметрии аниона  $D_{3h}$  соответствуют четыре нормальных колебания: симметричное валентное, внеплоскостное деформационное, дважды вырожденное антисимметричное валентное и плоскостное деформационное.

Таблица 5

*Рассчитанные колебательные частоты ( $\text{см}^{-1}$ ) для свободного перхлорат-аниона и ионной пары  $\text{Li}^+\text{NO}_3^-$  (I, II)*

RHF	B3LYP	отнесе- ния	RHF	B3LYP	отнесения	RHF	B3LYP	отнесения
			(I)	(I)		(II)	(II)	
1) 1591.9 1591.2	1401.5 1401.0	$v_a(\text{NO}_3)$	1753.7 1605.5	1568.7 1351.6	$v_a(\text{NO}_3)$ $v_s(\text{NO}_3)$	1832.1 1492.1	1609.6 1287.6	$v_a(\text{NO}_3)$ $v_s(\text{NO}_3)$
			1285.4	1123.7	$v_s(\text{NO}_3)$	1193.4	1037.25	$v_s(\text{NO}_3)$
2) 1236.9	1069.9	$v_s(\text{NO}_3)$	950.7	818.5	$\delta(\text{NO}_3)$ внепл.	952.6	814.0	$\delta(\text{NO}_3)$ внепл.
			891.4 768.4	807.0 677.2	$\delta(\text{NO}_3)$ плоск.	850.9 787.3	762.8 695.0	$\delta(\text{NO}_3)$ плоск.
3) 975.1	827.3	$\delta_a(\text{NO}_3)$	634.9	590.8	$v(\text{LiO}')$	601.1	570.5	$v(\text{LiO}')$
			-39.15 -102.5	-18.4 -81.2	Li ON торс.	417.4	414.6	LiON плоск.торс.
4) 790.0 789.9	697.7 697.3				Li ON торс.	180.5	172.6	LiON внепл.торс.

Из них в ИК-спектре активны последние три. Надо отметить, что частоты, рассчитанные для нитрат-аниона DFT методом, находятся в хорошем соответствии с экспериментально наблюдаемыми частотами (1380, 1050, 830 и  $730\text{cm}^{-1}$ ). Понижение симметрии приводит к снятию вырождения, вследствие чего число частот возрастает до шести (табл. 5).

Кафедра физической и коллоидной химии

Поступила 14.10.2003

## ЛИТЕРАТУРА

1. Handbook of Batteries, 2-nd ed. / Ed. D. Linden. McGRAW-HILL, 1995.
2. Kloss A., Fawcett W.R. – J. Chem. Soc., Faraday Trans., 1998, v. 94, № 11, p. 1587–1591.
3. Ramana K.V., Singh S. – J. Raman Spectrosc., 1989, v. 20, p. 169–179.
4. Chabanel M., Legoff D., Touaj K. – J. Chem. Soc., Faraday Trans., 1996, v. 92, № 21, p. 4199–4205.
5. Alia J.M., Edwards H.G.M. – Vibr. Spectrosc., 2000, v. 24, p. 185–200.
6. Chang S., Schmidt P.P., Severson M.W. – J. Phys. Chem., 1986, v. 90, p. 1046–1050.
7. Markarian S.A., Stockhausen M. – Z. Phys. Chem., 2000, v. 214, p. 139–147.
8. Gabrielian L.S., Markarian S.A. – New Electronic J. Natural Sciences, 2003, v. 1, p. 8–10.
9. Галстян А.С., Габриелян Л.С., Амирян А.С., Маркарян Ш.А. – Ученые записки ЕГУ, 2001, т. 196, № 3, с. 3–18.
10. Габриелян Л.С., Маркарян Ш.А. – Ж. физ. химии, 2001, т. 75, № 10, с. 1790–1792.
11. Klassen B., Aroca R., Nazri M., Nazri G.A. – J. Phys. Chem. B, 1998, v. 102, № 24, p. 4795–4801.
12. Seo J.S., Cheong B.S., Cho H.G. – Spectrochim. Acta Part A, 2002, v. 58, p. 1747–1756.
13. Klassen B., Aroca R., Nazri G.A. – J. Phys. Chem., 1996, v. 100, p. 9334–9338.
14. Wang Y., Nakamura S., Tasaki K., Balbuena P.B. – J. Am. Chem. Soc., 2002, v. 124, p. 4408–4421.
15. Ochterski J. W. Vibrational analysis in Gaussian, 1999, www. gaussian. com.
16. Scott A.P., Radom L. – J. Phys. Chem., 1996, v. 100, p. 16502–16513.

17. Wong M.W. – Chem. Phys. Letters., 1996, v. 256, p. 391–399.
18. Frish M.J. et al. Gaussian 98, Gaussian, Inc., Pittsburgh, PA, 1998.
19. Кларк Т. Компьютерная химия. М.: Мир, 1990, с. 342.
20. Leach R.A. Molecular modeling. Principles and applications. Longman, 1996, p. 587.

### Հ.Ս. ԳԱԲՐԻԵԼՅԱՆ

## Լիթիումի Պերչլորատի ԵՎ Նիտրատի ՏԱՏԱՆՈՂԱԿԱՆ ՍՊԵԿՏՐՈՍԵՐԻ AB INITIO ՀԵՏԱԶՈՏՈՒԹՅՈՒՆԸ

### Ամփոփում

Պերքլորատ և նիտրատ անիոնները, ինչպես նաև  $\text{Li}^+\text{ClO}_4^-$  և  $\text{Li}^+\text{NO}_3^-$  իոնական զույգերը ուսումնասիրվել են *ab initio* քվանտարիմիական մեթոդով: Ազատ անիոնների ու մոնո-, բի- և տրիդենտատ կառուցվածք ունեցող իոնական զույգերի երկրաչափության և տատանողական հաճախությունների հաշվարկը կատարվել է RHF/6-31+G (d) և B3LYP/6-31+G (d) բազիսներում:

Ցոյց է տրվել, որ բիդենտատ կառուցվածք ունեցող իոնական զույգերը նախընտրելի են ինչպես լիքիումի պերքլորատի, այնպես էլ լիքիումի նիտրատի դեպքում:

L. S. GABRIELIAN

### AB INITIO STUDY OF VIBRATIONAL SPECTRA OF LITHIUM PERCHLORATE AND NITRATE

#### Summary

The perchlorate and nitrate anions, and also ion pairs  $\text{Li}^+\text{ClO}_4^-$  и  $\text{Li}^+\text{NO}_3^-$  have been studied by *ab initio* quantum chemical methods. Calculation of geometry and vibrational frequencies for the free anions and for monodentate, bidentate and tridentate structures of ion pairs has been performed at the RHF/6-31+G (d) and B3LYP/6-31+G (d) levels.